

## I-A206

### 鋼2主桁橋の床版の設計断面力について

—断面変化、床版のひび割れおよび横桁の拘束効果をパラメータとした比較検討—

(株) 横河ブリッジ 正員 白水晃生

#### 1. はじめに

最近、鋼橋合理化の一環として、長支間の床版をもつ少数主桁橋の研究・開発や建設が行われている。プレストレストコンクリート床版をもつ鋼2主桁橋は経済性にも富むことからドイツでは1960年代から用いられてきた。そこで使われる床版の断面形状については主桁間を2次放物線で結び張出部の先端に向かい直線ですりつけるような図1-3に示す形が多い。これは、床版の断面力算出についても同様の断面形状を有する版として計算された図表<sup>1)</sup>をもとに断面力を算出してきた影響が大きいと考える。

ここでは、日本で見られることの多い支間部に向けて1:5のハンチ勾配をもった版(図1-1参照)と図1-2に示す等厚版、さらに図1-3に示す断面をもった版について、設計断面力に強い影響を与える活荷重による曲げモーメント(以降曲げと呼ぶ)に着目した比較検討を行う。さらに、中間支点上の床版に生じる橋軸方向のひびわれの影響や横桁による拘束効果を考慮した比較検討を行う。

#### 2. 解析

解析モデルの概要を図2に示す。支点条件は相対する2辺を単純支持、あるいは横桁による拘束の影響を考慮する場合はその取り付け位置で橋軸回りを回転バネ支持した。版は等方性均質版、もしくは床版のひび割れを考慮した場合は直交異方性版として有限要素法により解析を行った。解析モデルの断面形状は図1-1から図1-3にそれぞれの断面を示す。図1-1のモデルを基本とし、他の断面はこの図1-1の断面積と同じくなるように定めた。ひび割れが生じ剛性の劣化する方向は、橋軸直角方向をプレストレストすることから橋軸方向とし、橋軸直角方向の剛性の4分の1として解析した。なお、いずれのモデルも幅1000mm、厚さ50mmの鋼製上フランジと床版が合成していると仮定し、その下の腹板位置で支持している。

解析ケースは表-1に示す6通りとした。モデル1からモデル3はそれぞれ図1-1から図1-3の断面を所持し、モデル4はモデル1が橋軸方向にひび割れが生じた場合をイメージしている。モデル5は中間横桁のある支間部を、モデル6は橋軸方向にひび割れを許した中間支点上横桁のある中間支点部をイメージしている。なおコンクリートの設計基準強度は400kgf/cm<sup>2</sup>とし、その弾性係数は3.10×10<sup>5</sup>kgf/cm<sup>2</sup>とした。一方、鋼の弾性係数は2.10×10<sup>6</sup>kgf/cm<sup>2</sup>とした。横桁による拘束の影響は中間横桁と支点上の横桁とでは一般にその剛性が大きく異なることから、中間横桁取り付け部の回転バネを6000tonf·m/rad、中間支点上の横桁の回転バネを23000tonf·m/radとして表した。また、モデル5の横桁設置位置はモデル中心より10.0m間隔で配置し、モデル6は下フランジの横倒れ座屈を考慮して、モデル中心に配置した中間支点上の横桁を挟んで5.0mの位置に中間横桁を設けた。載荷荷重は単位荷重(P=100tonf)とし、支間中央部と張出部先端に集中荷重として載荷した。

#### 3. 結果

表2には支間中央部と張出部先端に単位荷重を載荷したときの床版に生じる単位幅あたりの曲げを表した。支間中央部載荷についてはその位置での橋軸直角方向と橋軸方向の曲げを、張出部先端位置に載荷した場合は腹板上とハンチ部(腹板より1350mm離れた位置)の橋軸直角方向の曲げを表した。表3には支間中央位置で載荷したときの支間中央部の鉛直たわみと張出先端位置で載荷した時の張出部のそれを示した。

##### ①断面剛性による影響(モデル1とモデル2、3の比較)

支間中央部に載荷した場合、モデル1とモデル2ではどちらの軸の曲げについてそれほど明確な差はないが、支間中央部の剛性の小さなモデル3はモデル1に比べ双方の軸の曲げとも7割程度となる。

キーワード：鋼2主桁橋、広幅員床版、断面変化

連絡先：〒273-0026 船橋市山野町27 (株) 横河ブリッジ技術部 fax 0474-35-6160

一方張出先端位置での載荷においては、モデル1とモデル3の張出部での形状は同一であるため腹板位置での曲げにそれほどの差はないが、モデル2はモデル1の9割程度の値となる。

## ②橋軸方向ひび割れの影響（モデル1とモデル4の比較）

支間中央部がひび割れの影響により橋軸方向の剛性が小さくなると、橋軸方向の曲げは小さくなり、床版支間方向の曲げは大きくなる。張出位置先端での載荷についても腹板上の橋軸直角方向の曲げはひびわれを考慮しないモデルに比べ大きくなる。

## ③横桁の拘束効果（モデル1とモデル5、6の比較）

中間支間部に横桁があれば、支間部の曲げは橋軸直角方向も橋軸方向も小さくなる。橋軸直角方向は床版の回転変形が横桁で拘束されるため、断面力が腹板上に集まる傾向があると考えられる。モデル6は橋軸方向のひび割れも考慮しているが、中間支点上の横桁の剛性が大きいため、橋軸直角方向の曲げはモデル5よりも小さく、橋軸方向の曲げはモデル5よりも一層小さくなる。

## 4. おわりに

床版の断面変化が断面力に与える影響が大きいことがわかった。また、仮定上の問題はあるものの、床版のひび割れや、橋軸方向の回転を拘束する横桁が曲げモーメントに与える影響を定性的につかめたものと考える。これらより、床版の活荷重による曲げモーメントを算出するには、計算モデルと実構造の一一致が望ましいことがわかった。さらに、境界条件の異なる床版端部や道路橋示方書I共通編2.1.3に規定されるT荷重とL荷重の載荷についての比較検討を進める計画である。

表1 モデルの種類

解析モデル	断面形状	ひびわれの考慮	横桁の拘束効果
モデル1	図1-1	考慮せず	考慮せず
モデル2	図1-2	考慮せず	考慮せず
モデル3	図1-3	考慮せず	考慮せず
モデル4	図1-1	考慮	考慮せず
モデル5	図1-1	考慮せず	考慮
モデル6	図1-1	考慮	考慮

(単位：mm)

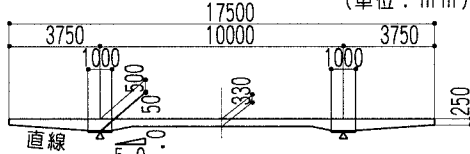


図1-1 1:5のハンチ勾配を持つ断面

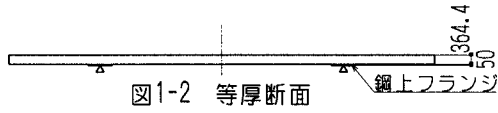


図1-2 等厚断面

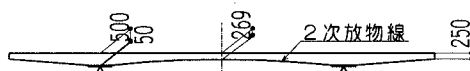


図1-3 2次放物線勾配を持つ断面

(単位：mm)

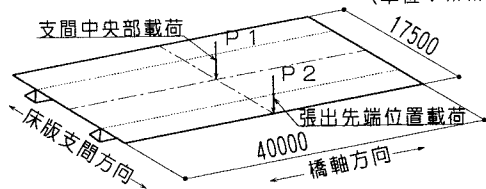


図2 解析モデルの概要

表3 鉛直変位の比較 (単位:mm)

	支間中央部載荷		端部先端位置載荷	
	支間中央部 橋軸直角方向 に対する割合	モデル1に 対する割合	端部 鉛直変位	モデル1に 対する割合
モデル1	12.2	1.00	27.4	1.00
モデル2	10.1	0.83	27.9	1.02
モデル3	13.7	1.12	26.5	0.97
モデル4	12.7	1.04	28.1	1.03
モデル5	8.9	0.73	24.3	0.89
モデル6	5.4	0.45	20.8	0.76

表2 曲げモーメントの比較

(単位:tonf·m)

	支間中央部載荷				端部先端位置載荷			
	支間中央部 橋軸直角方向 に対する割合	モデル1に 対する割合	支間中央部 橋軸方向 に対する割合	モデル1に 対する割合	腹板上 橋軸直角方向 に対する割合	モデル1に 対する割合	ハンチ屈曲部 橋軸直角方向 に対する割合	モデル1に 対する割合
モデル1	31.3	1.00	21.3	1.00	-132.1	1.00	-20.8	1.00
モデル2	32.5	1.04	22.6	1.06	-122.8	0.93	-20.8	1.00
モデル3	21.7	0.69	14.2	0.66	-138.1	1.05	-25.5	1.23
モデル4	35.2	1.12	15.5	0.73	-145.8	1.10	-21.4	1.03
モデル5	25.4	0.81	17.4	0.82	-155.7	1.18	-19.8	0.95
モデル6	17.8	0.57	12.7	0.60	-195.8	1.48	-17.0	0.82

参考文献：1) 例えれば、Homberg und Ropers : Fahrbahnplatten mit veränderlicher Dicke, Springer-Verlag, 1965